

C344.1.ii

3-86%

СООБЩЕНИЯ
ОБЪЕДИНЕННОГО
ИНСТИТУТА
ЯДЕРНЫХ
ИССЛЕДОВАНИЙ

Нузна

P13 - 6108

47/72
1-

6108

Г.Н. Зорин, В.Ф. Кушнирук

О ПРЕДЕЛЬНОМ ЭНЕРГЕТИЧЕСКОМ РАЗРЕШЕНИИ

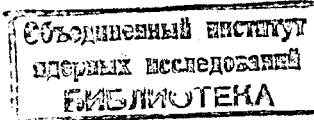
Δ Е-ДЕТЕКТОРОВ ДЛЯ α -ЧАСТИЦ

1971

P13 - 6108

Г.Н. Зорин, В.Ф. Кушнирук

О ПРЕДЕЛЬНОМ ЭНЕРГЕТИЧЕСКОМ РАЗРЕШЕНИИ
ΔE-ДЕТЕКТОРОВ ДЛЯ α -ЧАСТИЦ



Теоретический предел энергетического разрешения ΔE - детекторов определяют статистические флюктуации ионизационных потерь заряженных частиц при прохождении их через детектор. Расчет ионизационных потерь в поглотителях для $\Delta E < 0,1 E_0$ был выполнен Бором /1/. В этом случае распределение ионизационных потерь имеет симметричную форму, а ширина линии на половине высотыдается выражением

$$\delta (\text{кэв}) = 10,1 z \sqrt{t (\text{мкм})},$$

где z - заряд ионизирующей частицы, t - толщина кремниевого поглотителя. При выводе формулы не учитывалось изменение скорости частицы в процессе торможения ее вдоль пути t .

Однако условие $\Delta E < 0,1 E_0$ не выполняется для α -частиц с энергией 5-9 Мэв при прохождении ΔE - детекторов толщиной 10-50 мкм. Потери в этом случае составляют большую долю начальной энергии вплоть до $\Delta E \approx 0,9 E_0$.

Теоретический расчет функции распределения ионизационных потерь для величин $\Delta E \leq 0,8 E_0$, с учетом изменения скорости ионизирующей частицы вдоль пути в поглотителе, дан Чэлером /2/. Экспериментальные результаты, полученные на протонах /3,4/, хорошо совпадают с теоретическими расчетами как по форме распределения, так и по ширине линии.

Сравнение экспериментального энергетического разрешения кремниевых поверхностно-барьерных ΔE - детекторов в области энергий α -частиц 5-9 Мэв с теоретическими расчетами /1,2/ было проделано в работе /5/, в которой в качестве оценки предельного разрешения предлагается использовать формулу

$$\delta (\text{ кэв }) = 15,5 z \sqrt{t (\text{ мкм })}$$

для α - частиц с энергией ~8 Мэв. Как указано в /6/, ошибочный вывод о получении предельно возможного разрешения ΔE - детекторов вызван ошибкой в пересчете теоретической зависимости энергетического разрешения от толщины детектора . В действительности, их экспериментальные результаты лежат значительно выше теоретической кривой.

В данной работе сделана попытка найти причину расхождения между теорией и экспериментом.

На основании работ /3,4/ мы можем сделать предположение, что в области энергий α - частиц 5-8 Мэв для детекторов толщиной от 10 до 50 мкм распределение ионизационных потерь соответствует расчетному, а отклонение экспериментальных величин от расчета связано с микронеровностями поверхностей детектора. Тогда вклад неравномерности толщины в разрешающую способность детектора определяется из выражения

$$\delta_t = (\delta_{\text{изм.}}^2 - \delta_{\text{расч.}}^2)^{1/2},$$

где $\delta_{\text{изм.}}$ - измеренная ширина распределения ионизационных потерь на половине максимума, $\delta_{\text{расч.}}$ - расчетная ширина по Чэлеру.

Если предположить, что толщина детектора для различных точек по поверхности распределена по закону Гаусса $f(t) \sim \frac{1}{\sigma_t} e^{-\frac{(t-t_0)^2}{2\sigma_t^2}}$,

тогда можно оценить σ_t , среднеквадратичное отклонение от средней толщины t_0 , используя известное соотношение $\delta_t = 2,35 \sigma_t$. Используя значение $\frac{dE}{dx}$ для энергии α - частиц на выходе ΔE - детектора, легко определить σ_t в мкм, так как $\sigma_t (\text{кэв}) = \sigma_t (\text{мкм}) \times \frac{dE}{dx} |_{E_0} - \Delta E$ (кэв/мкм). Значение удельных потерь энергии и пробеги для α - частиц в кремнии были взяты из работы /7/.

Обработанные таким образом экспериментальные результаты работы /5/ приведены в таблице. Величина ошибки $\pm 0,05$ мкм определяется точностью измерения. Номера измерений 1-4 соответствуют экспериментальным данным, полученным при энергии α - частиц 8,78 Мэв; 7,68 Мэв; 6,12 Мэв

и 5,48 Мэв. Как видно из таблицы, среднеквадратичное отклонение толщины детектора от среднего значения для разных детекторов колеблется от 0,32 мкм до 0,43 мкм. Так как σ_t связано с микронеровностями, которые расположены на обеих поверхностях случайным образом, то легко определить шероховатость одной поверхности детектора, разделив полученное значение σ_t на $\sqrt{2}$.

Подтверждением правильности выбранных предположений является то, что в пределах точности эксперимента вычисленная величина σ_t не зависит от энергии, при которой было сделано ее измерение. Кроме того, экспериментальные данные, полученные на кремниевых поверхностно-барьерных ΔE -детекторах, изготовленных в Лаборатории ядерных реакций ОИЯИ, прямо показывают на сильную зависимость разрешающей способности ΔE -детекторов от неравномерности толщины детектора. В работе /6/ приводятся результаты по разрешающей способности для двух серий ΔE -детекторов с различной обработкой поверхности заготовок. Значение σ_t для серии с улучшенной обработкой поверхности равно $(0,32 \pm 0,03)$ мкм для различных толщин детекторов (25–50 мкм), а для серии, изготовленной из заготовок без дополнительной обработки, – $(0,46 \pm 0,04)$ мкм в диапазоне толщин от 15 до 50 мкм. Независимость σ_t от толщины ΔE -детектора в серии является дополнительным подтверждением сделанных предположений.

Приведенные выше результаты показывают, что при среднеквадратичном разбросе по толщине ΔE -детектора 0,3–0,4 мкм невозможно прямо измерять предельное разрешение для α -частиц с энергией 5–9 Мэв. В этом случае разброс потерь энергии из-за неравномерности толщины детектора сравним со статистическим разбросом потерь энергии, обусловленным флюктуациями числа образованных δ -электронов, а иногда превышает его. Для получения предельного энергетического разрешения ΔE -детекторов толщиной 10–50 мкм в диапазоне энергий α -частиц 5–9 Мэв необходимо обеспечить среднеквадратичный разброс по толщине заготовки ниже 0,1 мкм.

В заключение авторы выражают благодарность Г.Н. Флерову за интерес к работе, Ю.П. Харитонову за полезные обсуждения.

Литература

1. N. Bohr. Phil. Mag., 30, 581 (1915).
2. C. Tschalär. Nucl.Instr. and Meth., 61, 141 (1968).
3. J. J. Kolata, T.M. Amos and Hans Bichsel. Phys.Rev., 176, No. 2, 484 (1968).
4. C. Tschalär. Nucl.Instr. and Meth., 64, 237 (1968).
5. В.В. Авдейчиков и др. Изв. АН СССР, сер. физ., 34, №1, 210 (1970).
6. Г.Н. Зорин, В.Ф. Кушнирук. Препринт ОИЯИ, Р13-5970, Дубна, 1971.
7. H. Bichsel, C. Tschalär. Nucl.Data, Sec. A, v. 3, No. 3, 343 (1967).

Рукопись поступила в издательский отдел
29 октября 1971 года.

Таблица. Вычисленные значения σ_t (мкм)
для различных детекторов

Номер измерения	Толщина образцов (мкм)			
	$t = 10$	$t = 13,3$	$t = 23,1$	$t = 26$
1	0,29	0,28	0,34	0,39
2	0,35	0,34	0,44	0,42
3	0,30	0,37	0,40	0,44
4	0,34	0,36	0,36	0,49
$\bar{\sigma}_t$	$0,32 \pm 0,05$	$0,34 \pm 0,05$	$0,38 \pm 0,05$	$0,43 \pm 0,05$